合成与应用

7-羧酸类蛇床子素衍生物的合成及其抑制 AKR1C3 活性研究

李启鑫^{1,2},李丽明¹,郑雪花²,姚梓青²,许志森²,孙明娜*^{1,2} (1.广州医科大学附属中医医院,广东广州 510000;2.广州医科大学 药学院 a.广东省分子靶标与临床药理学重点实验室,b.呼吸疾病国家重点实验室,广东广州 511436)

摘要:合成 7-羧酸类蛇床子素衍生物,评价该类化合物对醛酮还原酶 1C3(AKR1C3)催化活性的影响。蛇床子素在三溴化硼的催化下脱除甲基,生成 7-羟基-8-溴代烷基香豆素中间体 1。在碳酸铯的碱性条件下,中间体 1 的 7-位羟基与不同的溴代酸酯发生 Williamson 醚化反应,同时,8-位溴代烷基在该碱性条件下发生消除溴化氢的反应,生成 7-位酯类蛇床子素衍生物。随后,酯类衍生物在氢氧化锂的作用下水解,进而酸化后得到 7-位含有羧基的蛇床子素衍生物;利用 HR-MS,¹HNMR 及 ¹³CNMR 确证化合物的结构;通过中通量抑酶活性测试方法评价所合成化合物对 AKR1C3 催化活性的影响,并计算其 IC₅₀值。以蛇床子素为起始原料,经脱甲基、取代、水解反应合成了 8 个 7-羧酸类蛇床子素衍生物,其中,7-(8-(3-甲基丁-2-烯-1-基)-7-羟基-2H-苯并吡喃-2-酮氧基) 庚酸显示出良好的 AKR1C3 抑制活性,可为后续研究提供一定的依据。

关键词:蛇床子素:醛酮还原酶1C3:羧酸:合成:衍生物:香豆素

中图分类号:R91 文献标识码:A 文章编号:0258-3283(2025)03-0098-08

DOI: 10.13822/j.cnki.hxsj.2024.0483

Synthesis and AKR1C3 Inhibitory Activity of 7-Carboxylic Acid Osthole Derivatives LI Qi-xin^{1,2}, LI Li-ming¹, ZHENG Xue-hua², YAO Zi-qing², XU Zhi-sen², SUN Ming-na^{*1,2}(1.The Affiliated TCM Hospital of Guangzhou Medical University, Guangzhou 510000, China; 2a. Key Laboratory of Molecular Target & Clinical Pharmacology, 2b. the State Key Laboratory of Respiratory Disease, School of Pharmaceutical Sciences, Guangzhou Medical University, Guangzhou 511436, China)

Abstract:7-Carboxylic acid derivatives of osthole were synthesized and their inhibitory effect on the catalytic activity of aldo-keto reductase 1C3 (AKR1C3) was evaluated. The demethylation of osthole was catalyzed by boron tribromide to produce the 7-hydroxyl-8-bromoalkylcoumarin intermediate 1. Then, under a basic condition in the presence of cesium carbonate, the 7-hydroxyl group of intermediate 1 reacted with various bromo acid esters *via* the Williamson etherification, while the 8-bromoalkyl group underwent elimination of hydrogen bromide, finally yielding 7-ester derivatives of osthole. These ester derivatives were subsequently hydrolyzed in the presence of lithium hydroxide, followed by acidification to obtain osthole derivatives containing a carboxyl group at the 7-position. The chemical structures of target compounds were confirmed by HR-MS, HNMR and TR-MR. The effects of the compounds on the catalytic activity of AKR1C3 were evaluated using the medium flux enzyme activity inhibition tests, and the IC values were calculated. Eight of 7-carboxylic acid derivatives of osthole were synthesized through demethylation, substitution, and hydrolysis, using osthole as the starting material. Among them, 7-((8-(3-methylbut-2-en-1-yl)-2-oxo-2*H*-chromen-7-yl) oxy) heptanoic acid exhibited good inhibitory activity against AKR1C3, which could provide some basis for subsequent research.

Key words: osthole; aldo-keto reductase 1C3; carboxylic acid; synthesis; derivative; coumarin

醛酮还原酶(Aldo-Keto Reductases, AKRs)作 个庞大的超家族,能够催化醛和酮类化合物的还为一组 NADPH 依赖性的氧化还原酶,构成了一 原反应[1]。AKR1C3 是人类 AKR1 超家族的核心

收稿日期:2024-12-13;修回日期:2024-12-18

基金项目:广州市教育局 2024 年高校科研项目(2024312183);广州医科大学科研能力提升项目(02-410-2405014);广州医科大学大学生科研创新能力提升项目(02-408-240603029); 2023 年广东省级大学生创新创业训练计划项目(S202310570077, S202310570078)。

作者简介:李启鑫(2002-),男,广东梅州人,硕士生,主要研究方向为药物化学。

通讯作者:孙明娜,E-mail:mingnas85@163.com。

成员之一,是一种存在于人类细胞的多功能转化 酶,能够催化人机体睾酮以及 17β 雌二醇的合成 或分解,具有多种重要的生理作用[2]。另外, AKR1C3 可以通过调节雄性激素、孕激素等相关 激素的合成以及改变激素与其对应受体结合的 量,从而提高多种激素相关癌症的发生机率。例 如,AKR1C3 可以调节前列腺素 F_{2a}(Prostaglandin F_{2a},PGF_{2a})的增加或减少来促进或抑制癌细胞的 增殖^[3]。研究表明, AKR1C3 在转移性和复发性 前列腺异种移植瘤以及去势抵抗性前列腺癌患者 骨转移肿瘤中高度表达[4,5],可通过经典途径和 后门途径促进弱雄激素转化为更高活性的雄激素 (即睾酮和二氢睾酮),促进危害性更高的去势抵 抗性前列腺癌进展。此外, AKR1C3 介导的激素 转化可促进乳腺癌细胞增殖[6],在乳腺癌耐药中 也扮演着重要角色,被证明与蒽环类药物,如阿霉 素和柔红霉素等的代谢有关。阿霉素(DOX)耐 药乳腺癌细胞系 MCF-7/DOX 与亲本 MCF-7 细胞 相比, AKR1C3 水平升高, 且 AKR1C3 过表达介导 的 DOX 耐药性与 PTEN/Akt 通路的激活有关^[7]。 蒽环类药物与特异性 AKR1C3 抑制剂(如2'-羟基 黄烷酮)联合用药可能是成功治疗 AKR1C3 过度 表达肿瘤的有效策略^[8]。由此可见, AKR1C3 在 前列腺癌、乳腺癌等激素依赖性癌症的进展和耐 药过程中起着重要作用,被认为是治疗肿瘤的重 要靶点,研究 AKR1C3 抑制剂类抗肿瘤药物具有 较好的应用前景。

蛇床子素(Osthole), 化学名为 7-甲氧基-8-异 戊烯基香豆素,结构式如图1所示,是蛇床子等中 药的重要活性成分,具有抗肿瘤、抗骨质疏松、抗 炎、抗菌、抗变应性、抗病毒等作用[9]。多项研究 表明,蛇床子素作为自然存在的香豆素类化合物, 在抗肿瘤方面表现出明显的活性,主要包括肺癌、 结直肠癌、乳腺癌等。最近研究表明,蛇床子素可 通过多种信号传导途径调节多种癌细胞(如肺癌 细胞、前列腺癌细胞等)的凋亡、增殖、侵袭和转 移等过程[10]。本课题组前期对蛇床子素的多种 生物学活性进行了深入调查分析,主要包括抗肿 瘤、抗炎、神经保护,成骨、心血管保护、抗菌和抗 寄生虫活性,并针对其来源途径、结构修饰等方面 研究进行了较详细的总结[9]。目前针对蛇床子 素的结构修饰研究主要有以下3种:内酯环修饰、 7-甲氧基的修饰和 8-位异戊烯基的修饰,主要目 的是增效减毒、优化性质,如溶解性、稳定性、生物 利用度等。在前期研究中,本课题组合成了蛇床子素 8 位衍生物并研究了其 AKR1C3 抑制作用[11]。

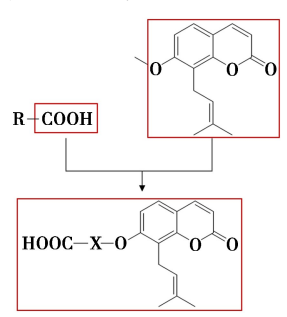


图 1 7-羧酸类蛇床子素衍生物的化学结构 Fig.1 Chemical structure of 7-carboxylic acid osthole derivatives

经调研发现,许多 AKR1C3 抑制剂结构中含有羧酸基团。羧酸基团是与 AKR1C3 催化活性中心的催化残基 Tyr55 和 His117 形成氢键的关键药效团^[12,13]。因此,本文设计以蛇床子素为基础结构,对其7位甲氧基进行改造,通过对羟基衍生,合成含有羧酸基团的新型蛇床子素衍生物(图1),探究修饰后化合物对 AKR1C3 催化活性的影响,期望为筛选高效、特异的 AKR1C3 抑制剂提供实验依据和理论基础。

1 实验部分

1.1 主要仪器与试剂

87-1A 型磁力搅拌器、DF-101S 型集热式恒温加热磁力搅拌器、ZF-20D 型暗箱式紫外分析仪、SHZ-DI 型循环真空泵(巩义市予华仪器有限责任公司);YZPS-12 型平行合成反应器(岩征仪器(北京)公司);XHDL-20 型低温冷却循环泵(上海霄汉实业发展有限公司);400 MHz TMS 型内标核磁共振波谱仪(日本捷欧路公司);Q Exactive Focus 型四极杆-轨道阱液质联用仪、Fluoroskan Ascent FL 型荧光化学发光微孔板读数仪(美国赛默飞世尔科技公司);BAS1245 型电子分析天平、BSA223S 型万分之一天平(赛多利斯科学仪器(北京)有限公司);81-2B 型离心机(江苏新康医疗器械有限公司)。

4-溴丁酸乙酯、5-溴戊酸乙酯、6-溴己酸乙酯、7-溴庚酸乙酯、8-溴辛酸乙酯、溴代对甲基肉桂酸甲酯、1-乙基-(3-二甲基氨基丙基)碳酰二亚胺盐酸盐(上海毕得医药科技股份有限公司);4-(3-溴丙基)苯甲酸甲酯(上海吉至生化科技有限公司);4-(溴甲基)苯甲酸甲酯(阿法埃莎(中国)化

学有限公司);三溴化硼、三乙胺(安徽泽升科技有限公司);碳酸铯、氢氧化锂(上海阿拉丁生化科技股份有限公司);无水乙醇、二氯甲烷、四氢呋喃、甲醇(广州化学试剂厂);9,10-菲醌、NADPH、甲氯酚那酸(德国 Merck 公司);酶活性测试用二甲基亚砜、磷酸二氢盐、氢氧化钠(上海麦克林生化科技股份有限公司);AKR1C3 酶(自制)。所用试剂均为分析纯。

1.2 实验方法

1.2.1 目标化合物的合成

目标化合物合成路线如图 2 所示:蛇床子素在三溴化硼的作用下脱甲基生成 8-(3-溴-3-甲基丁基)-7-羟基-2H-色烯-2-酮(1);化合物 1 与不同的卤代酸酯进行取代反应生成化合物 2a~2h;后者在氢氧化锂的条件下水解并酸化后得到羧酸类衍生物 3a~3h,即得到目标化合物。

Reagents and conditions: 1)BBr₃, anhydrous CH_2Cl_2 , ice and salt bath to rt, 3 h, 70%; 2)Bromo carboxylates, Cs_2CO_3 , 40 °C or rt; 3)V(LiOH, THF): $V(H_2O)$ =1:1, 6 h

图 2 目标化合物的合成路线

Fig.2 Synthetic routes of the target compounds

1.2.1.1 化合物 1 的制备

称取 244 mg(1.0 mmol)蛇床子素置于 100 mL 三颈烧瓶中,将反应瓶连接带有氮气球的三通,反 复抽真空、充氮气 3 次。将反应瓶置于冰盐浴中 10~15 min, 使反应体系降至约0 ℃, 注入4 mL 无 水 DCM, 待蛇床子素完全溶解后滴加 5 mL (1 mol/L)三溴化硼二氯甲烷溶液。冰盐浴中保 温反应,TLC 监测反应完全(约3h)后,用一次性 注射器向反应瓶中加4 mL 水,淬灭三溴化硼。然 后使用 10 mL DCM 萃取 3 次,合并 DCM 层,干 燥,抽滤,滤液在40℃下减压浓缩,用石油醚/乙 酸乙酯混合溶剂重结晶,过滤即得 161 mg 中间体 1, 产率 70%。 ¹HNMR (DMSO- d_6 , 400 MHz), δ : 10. 53(s, 1H); 7. 92(d, 1H, J = 9.5 Hz); 7. 39(d, 1H)1H, J = 8.5 Hz); 6.85 (d, 1H, J = 8.5 Hz); 6.20 (d, 1H, J = 9.4 Hz); 2. 99 ~ 2. 83 (m, 2H); 2. 07 ~ 1.92(m,2H);1.83(s,6H)。与文献[14]报道数 据一致。

1.2.1.2 4-(8-(3-甲基丁-2-烯-1-基)-7-羟基-2*H*-苯并吡喃-2-酮氧基)丁酸乙酯(2a)的制备

称量 115 mg(0.5 mmol)中间体 1、143 μL (1.0 mmol)4-溴丁酸乙酯置于 25 mL 圆底烧瓶中,加入 489 mg(1.5 mmol)碳酸铯,加入 2 mL 无水 DMF,在 40 ℃下搅拌反应(持续约 7 h)。TLC

1.2.1.3 5-(8-(3-甲基丁-2-烯-1-基)-7-羟基-2*H*-苯并吡喃-2-酮氧基)戊酸乙酯(2b)的制备

参照 **1. 2. 1. 2** 的合成方法,得淡黄色固体,产率 65%。 ¹HNMR (CDCl₃, 400 MHz), δ : 7. 60 (d, 1H, J = 9. 5 Hz); 7. 26 (d, 1H, J = 8. 6 Hz); 6. 79 (d, 1H, J = 8. 6 Hz); 6. 23 (d, 1H, J = 9. 4 Hz); 5. 22 (t, 1H, J = 7. 5 Hz); 4. 16 ~ 4. 11 (m, 2H); 4. 07 (t, 2H, J = 5. 8 Hz); 3. 54 (d, 2H, J = 7. 2 Hz); 2. 40 (t, 2H, J = 7. 0 Hz); 1. 89 ~ 1. 83 (m, 4H); 1. 83 (s, 3H); 1. 66 (s, 3H); 1. 26 (t, 3H, J = 7. 1 Hz)。 HR-MS, C_{21} H₂₆ NaO₅,实测值(计算值),m/z: 381. 166 4 (381. 167 2) $\int M + Na^{-1}$

1.2.1.4 6-(8-(3-甲基丁-2-烯-1-基)-7-羟基-2*H*-苯并吡喃-2-酮氧基)己酸乙酯(2c)的制备

参照 1. 2. 1. 2 的合成方法,得白色固体,产率 76%。 ¹HNMR(CDCl₃, 400 MHz), δ : 7. 23 (d, 1H, J = 9. 5 Hz); 6. 89 (d, 1H, J = 8. 6 Hz); 6. 42 (d, 1H, J = 8. 6 Hz); 5. 84 (d, 1H, J = 9. 4 Hz); 4. 85 (t, 1H, J = 7. 3 Hz); 3. 76 (q, 2H, J = 7. 1 Hz); 3. 68 (t, 2H, J = 6. 3 Hz); 3. 16 (d, 2H, J = 7. 3 Hz); 1. 97 (t, 2H, J = 7. 4 Hz); 1. 53 ~ 1. 46 (m, 2H); 1. 46 (s, 3H); 1. 38 ~ 1. 31 (m, 2H); 1. 29 (s, 3H); 1. 21 ~ 1. 13 (m, 2H); 0. 88 (t, 3H, J = 7. 1 Hz)。 HR-MS, $C_{22}H_{28}$ NaO₅,实测值(计算值),m/z: 395. 182 1 (395. 182 9) [M+Na] $^+$ 。

1.2.1.5 7-(8-(3-甲基丁-2-烯-1-基)-7-羟基-2*H*-苯并吡喃-2-酮氧基) 庚酸乙酯(2d)的制备

参照 **1. 2. 1. 2** 的合成方法,得淡黄色固体,产率 83%。 ¹HNMR(CDCl₃,400 MHz), δ : 7. 60(d,1H,J = 9. 5 Hz);7. 26(d,1H,J = 8. 6 Hz);6. 80(d,1H,J = 8. 6 Hz);6. 22(d,1H,J = 9. 4 Hz);5. 22(t,1H,J = 8. 7 Hz);4. 13(q,2H,J = 8. 6 Hz);4. 04(t,2H,J = 6. 4 Hz);3. 54(d,2H,J = 7. 2 Hz);2. 31(t,2H,J = 7. 5 Hz);1. 88~1. 85(m,2H);1. 83(s,3H);1. 72~1. 65(m,2H);1. 66(s,3H);1. 57~1. 50(m,2H);1. 47~1. 40(m,2H);1. 25(t,3H,J = 14. 3 Hz)。HR-MS,C₂₃ H₃₁ O₅,实测值(计算值),m/z:387. 215 5(387. 216 6)[M+H] [†]。1. 2. 1. 6 8-(3-甲基丁-2-烯-1-基)-7-羟基-2H-苯并吡喃-2-酮氧基)辛酸乙酯(2e)的制备

参照 1. 2. 1. 2 的合成方法,得淡黄色固体,产率 89%。 ¹HNMR(CDCl₃, 400 MHz), δ : 7. 60 (d, 1H, J = 9. 5 Hz); 7. 25 (d, 1H, J = 8. 6 Hz); 6. 79 (d, 1H, J = 8. 6 Hz); 6. 21 (d, 1H, J = 9. 4 Hz); 5. 22(t, 1H, J = 7. 3 Hz); 4. 12(q, 2H, J = 7. 1 Hz); 4. 03(t, 2H, J = 6. 4 Hz); 3. 53(d, 2H, J = 7. 3 Hz); 2. 29(t, 2H, J = 7. 5 Hz); 1. 87 ~ 1. 79 (m, 2H); 1. 83(s, 3H); 1. 67 ~ 1. 60 (m, 2H); 1. 65 (s, 3H); 1. 53 ~ 1. 46 (m, 2H); 1. 39 ~ 1. 35 (m, 4H); 1. 24 (t, 3H, J = 7. 1 Hz)。 HR-MS, C_{24} H₃₂ NaO₅,实测值(计算值),m/z: 423. 213 3(423. 214 2) [M+Na] ⁺。 1. 2. 1. 7 4-(8-(3-甲基丁-2-烯-1-基)-7-羟基-2H-苯并吡喃-2-酮氧甲基)苯甲酸甲酯(2f)的制备

参照 **1. 2. 1. 2** 的合成方法,得白色固体,产率 60%。 ¹HNMR(CDCl₃,400 MHz), δ :8. 11(d,1H,

 $J=1.3~{\rm Hz}$); $8.02({\rm d},1{\rm H},J=8.0~{\rm Hz})$; $7.65({\rm d},1{\rm H},J=1.5~{\rm Hz})$; $7.61({\rm d},1{\rm H},J=9.2~{\rm Hz})$; $7.49({\rm d},1{\rm H},J=7.7~{\rm Hz})$; $7.26({\rm s},1{\rm H})$; $6.85({\rm d},1{\rm H},J=8.6~{\rm Hz})$; $6.25({\rm d},1{\rm H},J=9.4~{\rm Hz})$; $5.25\sim5.22({\rm m},1{\rm H})$; $5.22({\rm s},2{\rm H})$; $3.93({\rm s},3{\rm H})$; $3.60({\rm d},2{\rm H},J=7.3~{\rm Hz})$; $1.75({\rm s},3{\rm H})$; $1.67({\rm s},3{\rm H})$ 。 HR-MS, C_{23} C_{23}

1.2.1.8 4-(3-(8-(3-甲基丁-2-烯-1-基)-7-羟基-2*H*-苯并吡喃-2-酮氧基)丙基)苯甲酸甲酯(2g)的制备

参照 1. 2. 1. 2 的合成方法,得白色固体,产率 65%。 ¹HNMR(CDCl₃,400 MHz), δ :7. 97(d,2H, J=8. 0 Hz);7. 61(d,1H,J=9. 5 Hz);7. $28 \sim 7$. 24(m,3H);6. 75(d,1H,J=8. 6 Hz);6. 24(d,1H, J=9. 4 Hz);5. 26(t,1H,J=7. 3 Hz);4. 04(t,2H, J=6. 1 Hz);3. 90(s,3H);3. 58(d,2H,J=7. 1 Hz);2. 91(t,2H,J=7. 6 Hz);2. $21 \sim 2$. 15(m,2H);1. 86(s,3H);1. 67(s,3H)。HR-MS, C_{25} H₂₆-NaO₅,实测值(计算值),m/z:429. 166 0(429. 1672)[M+Na]⁺。

1.2.1.9 3-(4-(8-(3-甲基丁-2-烯-1-基)-7-羟基-2*H*-苯并吡喃-2-酮氧甲基)苯基)丙烯酸甲酯(2h)的制备

参照 1. 2. 1. 2 的合成方法,得白色固体,产率 60%。 ¹HNMR(CDCl₃,400 MHz), δ :7. 70(d,1H, J=16. 0 Hz);7. 61(d,1H,J=4. 8 Hz);7. 55(d, 2H,J=8. 0 Hz);7. 44(d,2H,J=7. 9 Hz);7. 25(d,1H,J=5. 6 Hz);6. 84(dd,1H,J=8. 4,4. 8 Hz);6. 46(d,1H,J=16. 0 Hz);6. 25(d,1H,J=9. 4 Hz);5. 24(t,1H,J=7. 3 Hz);5. 20(s,2H);3. 81(s,3H);3. 60(d,2H,J=7. 1 Hz);1. 77(s,3H);1. 67(s,3H)。HR-MS, C_{25} H₂₄NaO₅,实测值(计算值),m/z:427. 1508(427. 1516)[M+Na]⁺。1. 2. 1. 10 4-((8-(3-甲基丁-2-烯-1-基)-2-氧代-2H-色烯-7-基)氧基)丁酸(3a)的制备

称量 35 mg(0.1 mmol) 化合物 2a 置于 25 mL 圆底烧瓶中,加入 5 mL 无水 THF,搅拌至固体完全溶解后,加入 5 mL 蒸馏水,然后在搅拌下加入 24 mg(1 mmol) 氢氧化锂,室温下搅拌反应。TLC 监测化合物 2a 完全转化后,减压蒸出 THF,用 2 mol/L 稀盐酸调节反应液的 pH 5~6,析出固体,抽滤、干燥后得淡黄色固体,产率 80%。

¹HNMR(DMSO- d_6 ,400 MHz), δ :7.95(d,1H,J=9.5 Hz);7.52(d,1H,J=8.7 Hz);7.02(d,1H,J=8.7 Hz);6.26(d,1H,J=9.4 Hz);5.13(t,1H,J=7.2 Hz);4.10(t,2H,J=6.2 Hz);3.40(d,2H,J=7.2 Hz);2.42(t,2H,J=7.3 Hz);2.02~1.95(m,2H);1.76(s,3H);1.62(s,3H)。 ¹³CNMR(DMSO- d_6 ,101 MHz), δ :174.08,160.32,152.21,144.72,131.68,127.15,121.32,116.22,112.64,112.26,108.65,67.5,30.03,25.48,24.26,21.54,17.72。HR-MS, $C_{18}H_{21}O_{5}$,实测值(计算值),m/z:317.137 8(317.138 9)[M+H]⁺。

1.2.1.11 4-(8-(3-甲基丁-2-烯-1-基)-7-羟基-2*H*-苯并吡喃-2-酮氧基)丁酸(3b)的制备

1.2.1.12 6-(8-(3-甲基丁-2-烯-1-基)-7-羟基-2*H*-苯并吡喃-2-酮氧基)己酸(3c)的制备

参照 **1. 2. 1. 10** 的合成方法,得淡黄色固体,产率 85%。 ¹HNMR(DMSO- d_6 , 400 MHz), δ : 12. 02(s,1H);7. 96(d,1H,J=9. 5 Hz);7. 53(d,1H,J=8. 7 Hz);7. 03(d,1H,J=8. 7 Hz);6. 26(d,1H,J=9. 4 Hz);5. 14(t,1H,J=7. 2 Hz);4. 08(t,2H,J=6. 2 Hz);3. 41(d,2H,J=7. 2 Hz);2. 23(t,2H,J=7. 2 Hz);1. 79~1. 70(m,2H);1. 77(s,3H);1. 62(s,3H);1. 59~1. 53(m,2H);1. 49~1. 41(m,2H)。 ¹³CNMR(DMSO- d_6 ,101 MHz), δ : 174. 41,160. 34,159. 1,152. 22,144. 75,131. 64,127. 13,121. 30,116. 17,112. 55,112. 18,108. 72,68. 25,33. 66,28. 45,25. 50,25. 17,24. 23,21. 54,17. 73。 HR-MS, C_{20} H₂₅O₅,实测值(计算值),m/z: 345. 169 0(345. 170 2)[M+H]⁺。

1.2.1.13 7-(8-(3-甲基丁-2-烯-1-基)-7-羟基-2*H*-苯并吡喃-2-酮氧基) 庚酸(3d) 的制备

参照 **1. 2. 1. 10** 的合成方法,得淡黄色固体,产率 87%。 ¹HNMR(CDCl₃,400 MHz), δ : 7. 60 (d, 1H, J = 9. 4 Hz);7. 27 ~ 7. 25 (m, 1H);6. 80 (d, 1H, J = 8. 6 Hz);6. 23 (d, 1H, J = 9. 4 Hz);5. 22(t,1H, J = 7. 3 Hz);4. 05(t,2H, J = 6. 3 Hz);4. 05(t,2H, 4 = 4 Hz);4. 88 ~ 1. 81 (m, 2H);4. 83 (s, 3H);4. 70 ~ 1. 66 (m,2H);4. 66(s,3H);4. 70 ~ 1. 50 (m,2H);4. 70 ~ 1. 66 (m,2H);4. 80 (m,2H);4. 81 (m,2H);4. 82 (m,2H);4. 83 (m,2H);4. 84 (m,2H)。 4 (m,2H)。 4

1.2.1.14 8-(8-(3-甲基丁-2-烯-1-基)-7-羟基-2*H*-苯并吡喃-2-酮氧基)辛酸(3e)的制备

参照 1. 2. 1. 10 的合成方法,得淡黄色固体,产率 82%。 ¹HNMR(CDCl₃,400 MHz), δ : 7. 60 (d,1H, J = 9. 5 Hz); 7. 26 (d,1H, J = 8. 5 Hz); 6. 80 (d,1H, J = 8. 6 Hz); 6. 23 (d,1H, J = 9. 4 Hz); 5. 23(t,1H, J = 7. 3 Hz); 4. 04(t,2H, J = 6. 3 Hz); 3. 54(d,2H, J = 7. 3 Hz); 2. 36(t,2H, J = 7. 4 Hz); 1. 87 ~ 1. 80 (m,2H); 1. 83 (s,3H); 1. 70 ~ 1. 63 (m,2H); 1. 66 (s,3H); 1. 54 ~ 1. 47 (m,2H); 1. 47 ~ 1. 39 (m,4H)。 ¹³CNMR(DMSO- d_6 ,101 MHz), δ : 174. 51,159. 14,152. 22,144. 75,131. 61,127. 14,121. 31,112. 16,108. 68,68. 34,33. 65,28. 66,28. 57,28. 49,25. 50,25. 44,24. 45,21. 55,17. 72。HR-MS, $C_{22}H_{28}NaO_5$,实测值(计算值),m/z: 395. 182 2(395. 183 4)[M+Na] $^+$ 。

1.2.1.15 4-(8-(3-甲基丁-2-烯-1-基)-7-羟基-2*H*-苯并吡喃-2-酮氧甲基)苯甲酸(3f)的制备

参照 1. 2. 1. 10 的合成方法,得白色固体,产率 60%。 ¹HNMR (DMSO- d_6 , 400 MHz), δ : 8. 07 (d,1H,J=7.2 Hz);7. 96 (d,1H,J=9.5 Hz);7. 91 (d,1H,J=7.8 Hz);7. 71 (d,1H,J=7.5 Hz);7. 55 (d,1H,J=8.1 Hz);7. 53 (d,1H,J=8.3 Hz);7. 13 (d,1H,J=8.7 Hz);6. 28 (d,1H,J=9.5 Hz);5. 34(s,2H);5. 16(t,1H,J=7.2 Hz);3. 45 (d,2H,J=7.1 Hz);1. 67(s,3H);1. 61(s,3H)。 ¹³CNMR (DMSO- d_6 ,101 MHz), δ :167. 11,160. 25,158. 53,152. 24,144. 93,144. 66,137. 50,131. 93,

131.06,128.88,128.84,128.32,127.08,121.09,116.57,112.91,112.52,109.22,69.42,25.45,21.64,17.68。HR-MS, C₂₂ H₂₁ O₅,实测值(计算值),m/z;365.137 6(365.138 9)「M+H】⁺。

1.2.1.16 4-(3-(8-(3-甲基丁-2-烯-1-基)-7-羟基-2*H*-苯并吡喃-2-酮氧基) 丙基) 苯甲酸(3g) 的制备

参照 1. 2. 1. 10 的合成方法,得白色固体,产率 60%。 ¹HNMR (DMSO- d_6 , 400 MHz), δ : 7. 96 (d,1H,J=9.5 Hz);7. 87 (d,2H,J=8.1 Hz);7. 52 (d,1H,J=8.7 Hz);7. 34 (d,2H,J=8.1 Hz);7. 00 (d,1H,J=8.7 Hz);6. 27 (d,1H,J=9. 4 Hz);5. 16(t,1H,J=7. 2 Hz);4. 08(t,2H,J=6. 0 Hz);3. 43 (d,2H,J=7. 1 Hz);2. 84(t,2H,J=7. 8 Hz);2. 12~2.05 (m,2H);1. 78 (s,3H);1. 61 (s,3H)。 ¹³CNMR (DMSO- d_6 ,101 MHz), δ : 167. 28,160. 33,158. 99,152. 24,146. 69,144. 73,131. 67,129. 54,129. 54,128. 58,128. 58,128. 54,127. 17,121. 42,116. 21,112. 27,112. 27,108. 64,67. 51,31. 50,30. 07,25. 50,21. 56,17. 80。HR-MS, $C_{24}H_{25}O_5$,实测值(计算值),m/z: 393. 168 2 (393. 170 2) [M+H] [†]。

1.2.1.17 3-(4-(8-(3-甲基丁-2-烯-1-基)-7-羟基-2*H*-苯并吡喃-2-酮氧甲基)苯基)丙烯酸(3h)的制备

参照 **1. 2. 1. 10** 的合成方法,得白色固体,产率 62%。 ¹HNMR (DMSO- d_6 , 400 MHz), δ : 7. 95 (d,1H, J = 9. 4 Hz);7. 71 (d,2H, J = 7. 6 Hz);7. 58 (d,1H, J = 16. 2 Hz);7. 53 (d,1H, J = 4. 9 Hz);7. 51 (d,1H, J = 4. 8 Hz);7. 47 (d,1H, J = 5. 0 Hz);7. 11 (d,1H, J = 8. 6 Hz);6. 56 (d,1H, J = 16. 0 Hz);6. 28 (d,1H, J = 9. 5 Hz);5. 28 (s,2H);5. 15 (t,1H, J = 7. 0 Hz);3. 45 (d,2H, J = 6. 9 Hz);1. 70 (s,3H);1. 61 (s,3H)。 ¹³ CNMR (DMSO- d_6 , 101 MHz), δ : 167. 73,160. 30,158. 58,152. 24,144. 73,144. 66,143. 09,138. 66,134. 05,131. 89,128. 33,127. 88,127. 77,121. 18,116. 57,112. 88,112. 49,110. 51,109. 23,69. 56,25. 50,21. 65,17. 75。 HR-MS, $C_{24}H_{23}O_5$,实测值(计算值),m/z:391. 153 0 (391. 154 5) \lceil M+H \rceil ⁺。

1.2.2 酶活性实验

参照文献[15]方法,以甲氯芬那酸(MCF)为阳性对照药,采用多功能微孔板检测仪检测化合物(1 和 10 μmol/L)在 AKR1C3 催化的 9,10-菲

醌还原反应中,对辅酶 NADPH 消耗速率的影响,获得酶促反应的抑制率。进而测试化合物在多个浓度下对 AKR1C3 催化还原反应的抑制率,利用非线性回归计算化合物的半数抑制浓度 IC₅₀。

1.2.3 化合物 3d 与 AKR1C3 的分子对接

从 PDB 数据库中搜索并下载 AKR1C3 的 PDB 信息(PDBID:4DBS),应用 Discovery Studio 软件,进行 AKR1C3 蛋白分子的预处理,包括去除配体、去水、加氢、加力场等。以 AKR1C3 原晶体中的配体结合口袋作为分子对接的活性口袋,半径设定为 10 Å,其他对接参数采用默认值,将晶体结构中的原配体对接到 AKR1C3 活性口袋中,计算对接构象和晶体构象的 RMSD 值,验证对接为法的可靠性。同理,将准备好的化合物 3d对接到定义好的 AKR1C3 活性口袋中,分析对接结果,并利用 Pymol 软件分析进行可视化制图。

2 结果与讨论

2.1 蛇床子素脱甲基反应

在用 BBr, 催化蛇床子素 7-位甲基脱除的反 应中,本文起初设计的是希望生成7-羟基中间体 4,而后再与溴代酸酯发生取代反应(图3)。但在 实际反应结束时,加水淬灭过量的 BBr, 后,获得 的化合物并非中间体 4,经文献检索和图谱数据 对比(图 4a),发现是化合物 1^[14]。推测可能是在 淬灭 BBr, 的过程中,生成的氢溴酸与化合物 4 发 生了加成反应从而生成化合物 1。然而,在实验 过程中发现中间体1在加水淬灭后的溶液中不稳 定,易发生8位溴代侧链与7位羟基间的取代反 应而生成环合产物 5,该化合物的氢谱数据与文 献报道的数据一致[16,17](图 4b)。若将溶液置于 4 ℃冰箱,可以减缓化合物 5 的生成。此外,在 BBr, 淬灭过程中, 若加水速度过快, 会导致反应 液温度急剧上升,化合物5的生成也会增多。经 文献检索发现,蛇床子素在用 AlCl, 脱甲基后,在 Zn(OTf)₂/TsOH·H₂O 的条件下反应可以生成化 合物 5^[16]。再者, Gopalakrishnan 等^[17]报道,在室 温下使用 AICI、/EtSH 试剂对蛇床子素进行脱甲 基反应,可通过醚交换反应直接环化,生成化合物 5。而蛇床子素与 AlCl₃-DMS 复合物反应,得到化 合物 4。结合文献[14,16,17]报道,本文推测在 用 BBr、催化蛇床子素脱甲基反应时,淬灭过程中 BBr, 与水反应生成氢溴酸, 氢溴酸与中间体 4 的 8-位异戊烯基双键加成生成化合物 1,后者易发 生分子内的亲核取代反应生成化合物 5。故为了减少化合物 5 的生成,本文脱甲基反应结束加水淬灭后,立即萃取、干燥,并进行下一步反应。

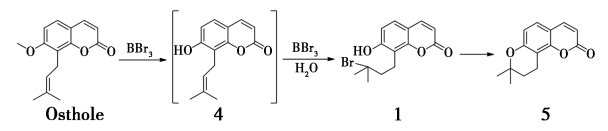
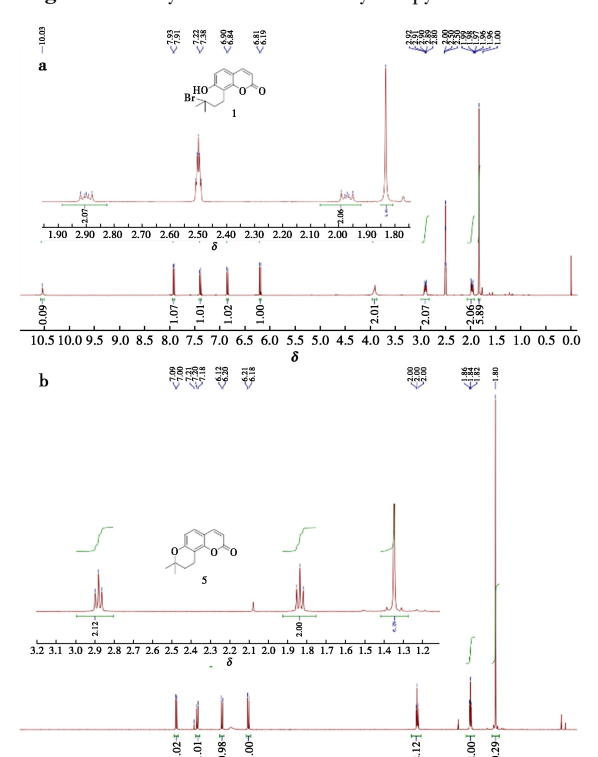


图 3 床子素脱甲基后生成吡喃并香豆素 5

Fig.3 Demethylation of osthole to yield pyranocoumarin 5



a.化合物 1 的 $^1 HNMR$ 及数据;b.化合物 5 的 $^1 HNMR$ 及数据

10.5 10.0 9.5 9.0 8.5 8.0 7.5 7.0 6.5 6.0 5.5 5.0 4.5 4.0 3.5 3.0 2.5 2.0 1.5 1.0 0.5 0.0

图 4 化合物 1 和 5 的 NMR 数据对比

Fig.4 Comparison of NMR data between compound 1 and 5

2.2 化合物对醛酮还原酶活性的影响

利用中通量抑酶活性测试实验检测了阳性对照药物 MCF 以及目标化合物 3a~3h 对 AKR1C3的抑制活性。粗测结果(图 5)显示,化合物 3a~3h 在浓度为 1 和 10 µmol/L 时,对 AKR1C3 的还原催化活性抑制率均超过 50%,且化合物 3a、3b和 3d表现出与 MCF 相似或更高的 AKR1C3 抑制活性。在 1 µmol/L 时,化合物 3a、3b及 3d的抑制率高于 MCF(81.3%),分别为 87.1%、86.8%和82.2%,且当浓度增大到 10 µmol/L 时,目标化合物对酶的抑制率均升高。对所合成化合物进行的多浓度下活性测试结果如表 1 所示[18],与对照品MCF 相比(IC50值为 0.512 µmol/L),化合物 3a、

3b 和 3d 对 AKR1C3 活性的抑制作用基本相当, 其 IC₅₀值均在 0.500 μmol/L 左右,其中化合物 3d 的 IC₅₀值为 0.464 μmol/L。由此可见,7-羧酸类蛇床子素衍生物具有良好的 AKR1C3 抑制作用。

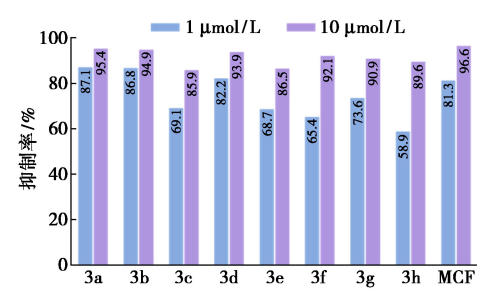


图 5 蛇床子素衍生物对 AKR1C3 活性的抑制作用 Fig.5 Inhibitory effects of Osthole derivatives against AKR1C3

表 1 蛇床子素衍生物抑制 AKR1C3 活性的 IC_{50} 值^注

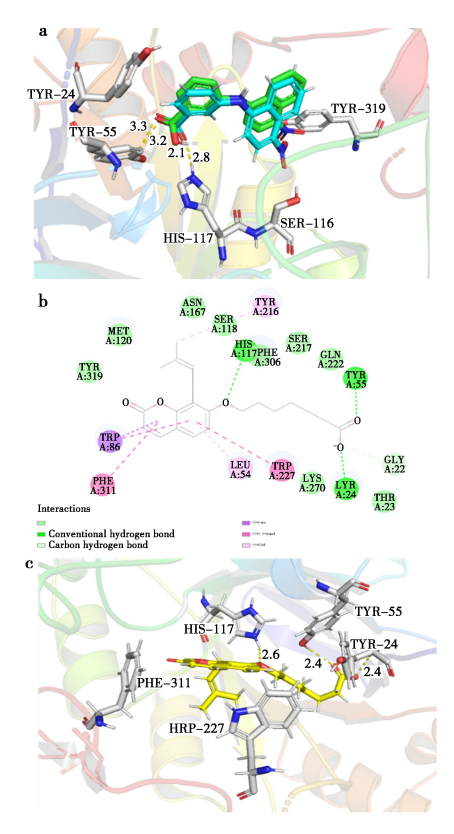
Tab.1 IC₅₀ values of inhibiting activity of Osthole derivatives against AKR1C3

•	Compound	$IC_{50}/(\mu\mathrm{mol}\!\cdot\!\mathrm{L}^{-1})$	Compound	$IC_{50}/(\mu\mathrm{mol}\!\cdot\!\mathrm{L}^{-1})$
	3a	0. 535±0. 085 7	3f	1. 526±0. 141 9
	3b	0.501±0.057 5	3g	0.788±0.045 9
	3e	0.817±0.085 3	3h	1.507±0.185 5
	3d	0.464±0.0607	MCF	0.512±0.0800 ¹⁾
	3e	0. 679±0. 113 1		

注:1) 对照品 MCF 的 IC₅₀ 值 0.512±0.080 源自参考文献 [18]。

2.3 化合物 3d 与 AKR1C3 的分子对接结果

分子对接结果显示,AKR1C3(PDBID:4DBS) 与化合物 3d 及原晶体复合物中配体化合物的结 合能,以"-CDDOCK INTERACTION ENERGY"表 示,分别为 52. 599 1 和 43. 142 6 kcal/mol。由图 6a 所示,将原配体重新对接于 AKR1C3 中,与原 始晶体结构中的配体位置相近,两种构象的 RMSD 值为 1.371 8,表明本文采用的对接方法可 靠。AKR1C3的结合口袋可以分为催化活性口袋 (OS)、类固醇通道(SC)和选择性口袋(SP1、SP2、 SP3),其中 OS 口袋主要由 Try55 和 His117 组成。 由图 6b、6c 所示,化合物 3d 的 7-位侧链中的羧基 与 AKR1C3 中的 Tyr55 和 Tyr24 形成氢键作用, 且侧链中与香豆素环相连的氧原子与 His117 形 成氢键结合,香豆素环与 Phe-311 和 Trp227 的氨 基酸形成 π - π 堆积,此外,香豆素环及其 8-位异 戊烯基与 Leu54、Trp86 及 Try216 间具有疏水相 互作用,由此可见,化合物 3d 与 AKR1C3 具有良 好的结合作用。



a.原配体与 AKR1C3 对接结果与原始构象图,绿色骨架为对接后的原配体构象,蓝色骨架为原晶体结构中的配体构象; b.化合物 3d 与 AKR1C3 的对接结果 2D 图;c.化合物 3d 与 AKR1C3 的对接结果 3D 模型图,黄色骨架为化合物 3d,白色 骨架为氨基酸残基,氢键以虚线表示

图 6 化合物 3d 与 AKR1C3 的分子对接结果

 $\begin{tabular}{ll} \textbf{Fig.6} & \textbf{Molecular docking between compound 3d and} \\ & \textbf{AKR1C3} \\ \end{tabular}$

3 结论

本文以蛇床子素为原料,通过脱甲基、亲核取代以及水解反应合成 8 个 7-羧酸类蛇床子素衍生物。对合成的目标产物进行酶活测试结果显示,与对照药物 MCF 相比,目标产物 3a、3b 和 3d 对 AKR1C3 具有较高的抑制活性,其 IC₅₀ 值均在 0. 500 μ mol/L 左右,其中化合物 3d 的抑制活性最高,IC₅₀值为 0. 464 μ mol/L。因此,此类蛇床子素衍生物可为进一步研究新型 AKR1C3 抑制剂提供一定的借鉴。

参考文献:

- [1] Sun M N, Jiang X Y, Zeng S Y, Huang P, Zheng X H, Liu H, Zhang C. Chem. Reagents, 2022, 45(4):160-166. 孙明娜, 江晓怡, 曾思莹, 黄萍, 郑雪花, 刘欢, 张超. 化学试剂, 2023, 45(4):160-166.
- [2] Liu Y, He S Y, Chen Y, Liu Y J, Feng F, Liu W Y, Guo Q L, Zhao L, Sun H P. J. Med. Chem., 2020, 63 (20):11 305-

11 329.

- [3] Penning T M. Mol. Cell. Endocrinol., 2019, 489:82-91.
- [4] Li M, Zhang L M, Yu J H, Wang X X, Cheng L, Ma Z W, Chen X G, Wang L Z, Goh B C. Front Pharmacol., 2024, 15:1 378 292/1-1 378 292/18.
- [5] Liu C F, Armstrong C M, Lou W, Lombard A, Evans C P, Gao A C. Mol. Cancer Ther., 2017, 16:35-44.
- [6] Paschalis A, Welti J, Neeb A J, Yuan W, Figueiredo I, Pereira R, Ferreira A, Riisnaes R, Rodrigues D N, Jiménez-Vacas J M, Kim S, Uo T, Micco P D, Tumber A, Islam M S, Moesser M A, Abboud M, Kawamura A, Gurel B, Christova R, Gil V S, Buroni L, Crespo M, Miranda S, Lambros M B, Carreira S, Tunariu N, Alimonti A, Al-Lazikani B, Schofield C J, Plymate S R, Sharp A, De-Bono J S, SU2C/PCF International Prostate Cancer Dream Team. Cancer Res., 2021, 81(4):1087-1100.
- [7] Zhong T, Xu F F, Xu J H, Liu L, Chen Y. Biomed. Pharmacother., 2015, 69:317-325.
- [8] Hofman J, Malcekova B, Skarka A, Novotna E, Wsol V. *Toxicol.Appl.Pharmacol.*, 2014, 278(3):238-248.
- [9] Sun M N, Sun M J, Zhang J Y. Med. Chem. Res., 2021, 30(10):21-28.
- [10] Shokoohinia Y, Jafari F, Mohammadi Z, Bazvandi L, Hosseinzadeh L, Chow N, Bhattacharyya P, Farzaei M H, Farooqi A A, Nabavi S M, Yerer M B, Bishayee A. Nutrients, 2018, 10(1):36-39.
- [11] ZL202110464698.2.Sun M N, Zheng X H, Zhang J Y, Feng X.2021-04-28.
 ZL202110464698.2.孙明娜,郑雪花,张建业,冯晓. 2021-04-28.
- [12] Sun M J, Zhou Y, Zhuo X F, Wang S, Jiang S S, Peng X H, Kang K, Zheng X H, Sun M N. Chem. Biodivers., 2020, (12):e20 005/1-e20 005/10.
- [13] Flanagan J U, Yosaatmadja Y, Teague R M, Chai M Z L, Turnbull A P, Squire C J. PLoS One, 2012, 7: e43 965/1-e43 965/16.
- [14] ZL201310526070.6. Zhang W H, Zhang Y Q, Liu P, Xu Z C.2013-10-30.
 ZL201310526070.6. 章维华, 张雅琴, 刘品, 徐子超. 2013-10-30.
- [15] Zheng X H, Zhao Y N, Wang X Y, Pan S Q, Zhang C. J. Chin. Med. Mater., 2018, 41(8):1851-1856. 郑雪花, 赵奕宁, 王小雨, 潘淑琼, 张超. 中药材, 2018, 41(8):1851-1856.
- [16] Huang W W, Huang Y, Cui J Y, Wu Y H, Zhu F L, Huang J, Ma L. Bio. Med. Chem. Lett., 2002, 61:128-547/1-128-547/7.
- [17] Gopalakrishnan G, Kasinath V, Singh N D P, Thirumurugan R, Raj S S S, Shanmugam G. Molecules, 2000, 5: 880-885.
- [18] Liu H, Yao Z Q, Sun M N, Zhang C, Huang Y Y, Luo H B, Wu D Y, Zheng X H. Chem. Bio. Interact., 2023, 385: 110 654/1-110 654/6.